

М. Г. ЗАЛЮБОВСЬКИЙ

ЗВО «Відкритий міжнародний університет розвитку людини «Україна»

ORCID ID: 0000-0001-6258-0088

e-mail: markzalubovskiy@gmail.com

I. В. ПАНАСЮК

Київський національний університет технологій та дизайну

ORCID ID: 0000-0001-6671-4266

e-mail: panasjuk1961@gmail.com

B. В. МАЛИШЕВ

ЗВО «Відкритий міжнародний університет розвитку людини «Україна»

ORCID ID: 0000-0003-2756-3236

e-mail: viktor.malyshev.igic@gmail.com

## АНАЛІТИЧНЕ ДОСЛІДЖЕННЯ ПОТУЖНОСТІ, ЯКА СПОЖИВАЄТЬСЯ НА ВЕДУЧОМУ ВАЛУ ГАЛТУВАЛЬНОЇ МАШИНИ ЗІ СКЛАДНИМ РУХОМ РОБОЧОЇ ЄМКОСТІ

*Робота присвячена аналітичному дослідженняю енергетичних параметрів машини зі складним рухом робочої ємкості. Зокрема, були виконані аналітичні дослідження динамічного моменту опору, що утворюється від просторового переміщення рухомих ланок машини. Встановлено, що при роботі машини зі складним рухом робочої ємкості момент опору на ведучому валу змінюватиметься декілька разів за один його оберт і може мати від'ємні значення. Таке явище зумовлене просторовим рухом ємкості та різкою зміною положення робочого сипкого масиву відносно її стінок. У результаті аналітичних досліджень отримано рівняння для визначення максимального значення динамічного моменту опору, створеного просторовим переміщенням рухомих ланок машини. Встановлено, що повний максимальний момент опору на ведучому валу машини визначається як векторна сума максимальних моментів усіх сил, що діють на завантажений сипкий масив до ємкості та на рухомі ланки машини, які виконують просторовий рух відносно відповідного центру рівноваги машини. Аналітично отримано загальний вираз для визначення максимальної потужності, що споживається машиною зі складним рухом робочої ємкості на її ведучому валу. Отримані результати досліджень можуть бути використані конструкторськими бюро відповідних машинобудівних підприємств на стадії проектування галтувальних типів обладнання.*

**Ключові слова:** робоча ємкість, потужність, момент опору, сипкий масив.

MARK G. ZALYUBOVSKYI

Open International University of Human Development "Ukraine"

IGOR V. PANASYUK

Kyiv National University of Technology and Design

VIKTOR V. MALYSHEV

Open International University of Human Development "Ukraine"

## ANALYTICAL INVESTIGATION OF POWER CONSUMED ON THE DRIVE SHAFT OF A REPLACING MACHINE WITH COMPLEX MOVEMENT OF WORK CAPACITY

*The work is devoted to the analytical study of the energy parameters of a machine with a complex movement of the working capacity. In particular, analytical studies of the dynamic moment of resistance formed by the spatial movement of the moving parts of the machine were performed. It is established that when operating a machine with a complex movement of the working capacity, the moment of resistance on the drive shaft will change several times during one revolution and may have negative values. This phenomenon is due to the spatial movement of the tank and a sharp change in the position of the working environment relative to its walls. As a result of analytical research, an equation is obtained to determine the maximum value of the dynamic moment of resistance created by the spatial movement of the moving parts of the machine. It is established that the total maximum moment of resistance on the driving shaft of the machine is defined as the vector sum of the maximum moments of all forces acting on the loaded working medium to the tank and on the moving parts of the machine. Analytically, a general expression is obtained to determine the maximum power consumed by a machine with a complex movement of the working capacity on its drive shaft. The obtained research results can be used by design bureaus of relevant machine-building enterprises at the stage of designing rolling types of equipment.*

**Keywords:** working capacity, power, moment of resistance, bulk array.

**Постановка задачі.** На сьогоднішній день галтувальні машини знайшли своє застосування практично в усіх галузях промисловості. Таким способом обробляють деталі, використання яких не потребує дотримання їх розмірів за квалітетами високої точності, а якість їх обробки можна визначити на основі органолептичного методу. Наприклад, у легкій промисловості так обробляються більшість фурнітурних деталей після ліття [1] та ті, що пройшли механічну обробку [2]: шліфуються та поліруються поверхні гудзиків [3], віddіляються від ливників металеві деталі замка "бліскавка" [4], віddіляються від ливників та облою полімерні деталі взуття, а саме підбори, набійки, задники підошви. Таким само способом підаються обробці різноманітні деталі, які використовуються у різних галузях машинобудування та приладобудування. Наприклад, очищаються від продуктів корозії різні металеві деталі тощо. Аналогічні типи конструкцій обладнання з рухомими ємкостями з різним характером руху застосовуються і для змішування дрібнодисперсних сипких речовин [5].

Для таких технологічних операцій використовуються різні типи галтувального обладнання [6]. Як

зазначалося, деякі типи обладнання [7] є застарілими та малоекективними, інші [8] – використовуються для «вузького» спектру технологічних операцій. У свою чергу, одним з найбільш перспективних типів обладнання вважаються машини зі складним просторовим рухом робочих ємкостей [9, 10].

Для будь-якого типу галтувального обладнання актуальним є дослідження потужності, яка споживається при виконанні відповідних технологічних операцій. Зокрема, якщо при роботі звичайних барабанних змішувачів, за рахунок простого обертання барабану, виникає сталій момент опору на ведучому валу [11], котрий не змінюється за один повний оберт барабану і визначається на основі відносно тривіальних формул, то при роботі машини зі складним рухом робочої ємкості момент опору ведучого валу змінюватиметься декілька разів за один його повний оберт, при чому, навіть досягатиме від'ємних значень. Analogічний характер зміни буде мати і потужність, яка споживається на ведучому валу такої машини. Саме тому методика визначення потужності, що споживається при роботі обертових барабанів [12] не придатна для використання при визначенні потужності, що споживається на ведучому валу машини зі складним просторовим рухом робочої ємкості.

Таким чином, проведення аналітичних досліджень потужності, що споживається на ведучому валу машини зі складним просторовим рухом робочої ємкості є актуальним завданням для подальшого розвитку промисловості України в цілому.

**Аналіз досліджень та публікацій.** У роботах [11, 12] представлені вирази для визначення потужності, що споживається при роботі обертових барабанів. Також відомі дослідження енергетичних параметрів галтувальних машин зі складним просторовим рухом робочих ємкостей. Зокрема, у роботі [13] виконані дослідження статичного моменту опору ведучого валу галтувальної машини, у роботі [14] також досліджувався статичний момент опору на ведучому валу, однак, який створювався масою сипкого масиву, який завантажений до робочої ємкості. У статті [15] наведені результати дослідження динамічного моменту опору на ведучому валу, утвореного переміщенням сипкого масиву у ємкості.

**Виділення невирішених частин.** Таким чином, постає актуальним завдання щодо отримання узагальненої методики визначення енергетичних параметрів галтувальних машин, у яких робоча ємкість виконує складний просторовий рух, отримання загального рівняння, використовуючи яке, можна розрахувати потужність, яка споживається на ведучому валу таких типів машин в залежності від зміни різних факторів впливу. Все це потребує проведення подальших аналітичних та експериментальних досліджень енергетичних параметрів вищеописаних галтувальних машин.

**Формулювання цілей.** Метою даної роботи є аналітичне дослідження потужності, яка споживається на ведучому валу галтувальної машини зі складним рухом робочої ємкості.

#### Виклад основного матеріалу

Дослідження даних енергетичних параметрів виконувалося аналітично із застосуванням САПР SolidWorks. Модель досліджуваної конструкції машини, що змодельована у САПР SolidWorks, а також кінематична її схема представлена на рис. 1 (а) та рис. 1 (б) відповідно.

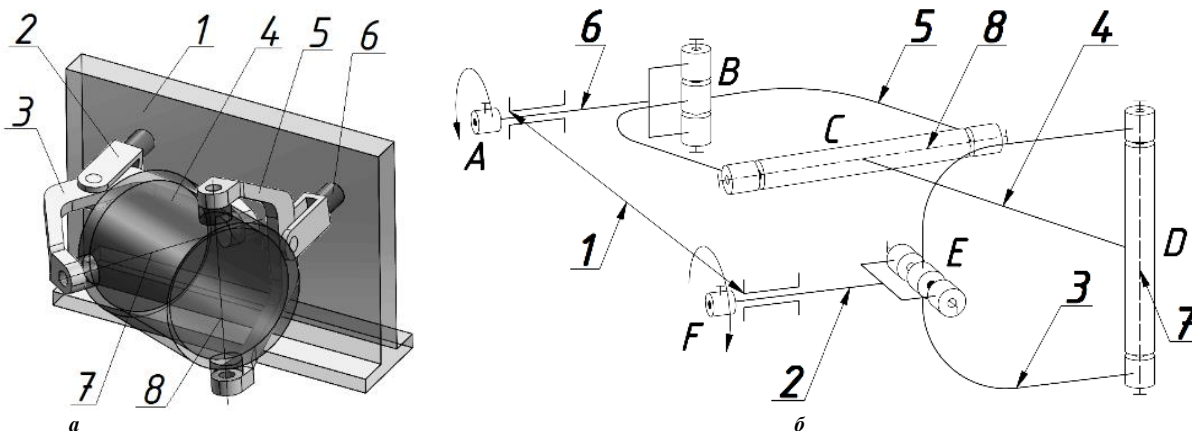


Рис. 1. Конструкція машини зі складним просторовим рухом робочої ємкості:  
а – модель машини, б – кінематична схема

Машина містить станину 1, ведучий 2 та ведений 6 вали, які встановлені у станині 1 паралельно в одній площині та з'єднані між собою подвійним просторовим шарніром, що виконаний у вигляді ведучого шатуна 3, веденого шатуна 5 та робочої ємкості 4 (проміжного шатуна), закріпленої між ведучим та веденим шатунами на діаметрально взаємно перпендикулярних геометрических осях 7 та 8 відповідно. Рухомі ланки машини утворюють собою просторовий шестиланковий механізм [16] з обертальними кінематичними парами.

Під час виведення рівняння, що характеризує загальний момент опору на ведучому валу машини, окрім сил інерції, що діють на сипкий масив, необхідно також врахувати сили інерції, створені переміщенням рухомих ланок машини. Таким чином, необхідно записати окреме рівняння для визначення моменту опору створеного цими силами відносно відповідного центру рівноваги машини, місце розташування яких визначено у роботах [13, 14]. Analogічно до попередніх частин було прийнято, що

вектори сил інерції будуть брати свій початок у точках  $E$  та  $F$  (рис. 2 (а) та рис. 2 (б)).

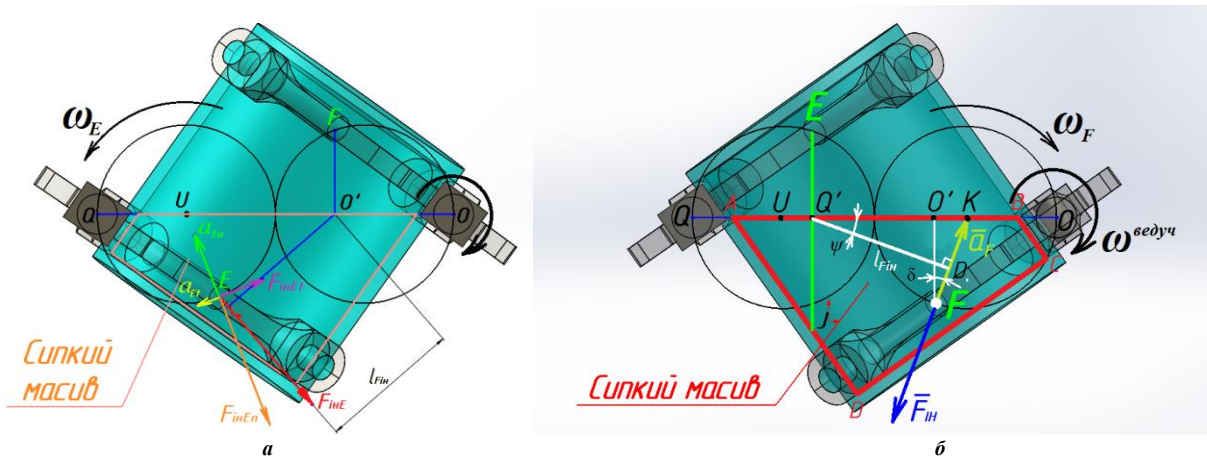


Рис. 2. Розрахункова схема в проекції на вертикальну площину

Встановити положення робочої ємкості, при якому буде виникати максимальне значення моменту опору на ведучому валу, створеного силами інерції рухомих ланок, надзвичайно складно, оскільки для кожного кута повороту ведучого валу напрям векторів сил інерції та довжини плечей будуть різними, окрім того, зі збільшенням кутової швидкості ведучого валу змінюватиметься значення кута його повороту, яке відповідатиме виникненню максимального моменту опору в зв'язку з тим, що нерівномірне переміщення точки  $E$  викликає тангенціальну складову прискорення, яка впливатиме на зміну напрямку повного прискорення точки  $E$ .

Приймаючи до уваги результати досліджень, які опубліковані у працях [13–15], максимальні значення статичних моментів опору ведучого валу (при завантаженні ємкості сипким масивом та без завантаження) та максимальне значення динамічного моменту опору при завантаженні ємкості сипким масивом утворюються при кутах повороту ведучого валу в  $54^\circ$  та  $126^\circ$ . Таким чином, значення динамічного моменту опору на ведучому валу, створеного силами інерції рухомих ланок, також будемо розраховувати для цих саміх кутів повороту ведучого валу машини.

Виведемо рівняння для розрахунку динамічного моменту опору на ведучому валу машини, створеного силами інерції, від переміщення рухомих ланок відносно відповідного центру рівноваги машини, яке є векторною сумою моментів сил інерції точок  $F$  та  $E$  відносно цього ж центру рівноваги машини. При цьому, аналогічно до [14] керуватимемося розподілом сумарної маси рухомих ланок між двома точками  $E$  та  $F$ :

$$\overline{M}_{OP.F_{in}} = \sum \overline{M}_{F_{in}}^{O'(Q')}. \quad (1)$$

$$\overline{M}_{OP.F_{in}} = \overline{M}_{F_{in}}^F + \overline{M}_{F_{in}}^E. \quad (2)$$

Рівняння для визначення моменту сили інерції прикладеної в точці  $F$  отримано у роботі [14]. Запишемо його, але ще й з урахуванням маси рухомих ланок:

$$\overline{M}_{F_{in}}^F = 0,42m_{\Sigma}(\omega^{\text{ведуч}})^2 l_{QO}^2, \quad (3)$$

де  $m_{\Sigma}$  – сумарна маса сипкого масиву та півмаси ланок, які виконують просторовий рух,  $\omega^{\text{ведуч}}$  – кутова швидкість ведучого валу,  $l_{QO}$  – відстань між осями ведучого та веденого валів машини.

У свою чергу, запишемо вираз для визначення сумарної маси сипкого масиву та півмаси ланок, які виконують просторовий рух:

$$m_{\Sigma} = m_C + m_F. \quad (4)$$

$$m_F = m_E. \quad (5)$$

де  $m_C$  – сумарна маса сипкого масиву, завантаженого до робочої ємкості,  $m_F (m_E)$  – половина сумарної маси ланок машини, які виконують просторовий рух.

Запишемо рівняння для визначення моменту сили інерції прикладеної в точці  $E$ :

$$\overline{M}_{F_{in}}^E = \overline{F}_{in}^E l_{F_{in}}. \quad (6)$$

де  $\overline{F}_{in}^E$  – модуль сили інерції, прикладений у точці  $E$ ,  $l_{F_{in}}$  – плече сили інерції прикладеної в точці  $F$ .

Модуль сили інерції в точці  $\overline{F}_{in}^E$  можна визначити як:

$$\overline{F}_{in}^E = m_E \overline{a}_E. \quad (7)$$

де  $\overline{a}_E$  – повне прискорення точки  $E$ .

Модуль повного прискорення  $\overline{a}_E$  є векторною сумою нормального та тангенціального прискорень,

однак, оскільки миттєва тангенціальна складова прискорення точки  $E$  при такому положенні буде значно меншою за нормальну складову, крім того її визначення викликає значні труднощі, то умовно вважали, що на точку  $E$  буде діяти лише нормальна складова прискорення, а отже вираз (7)(3.79) матиме вигляд:

$$\bar{F}_{in}^E = m_E \bar{a}_{nE}. \quad (8)$$

де  $\bar{a}_{nE}$  – нормальна складова прискорення точки  $E$ .

У свою чергу, нормальну складову прискорення точки  $E$  можна визначити за виразом:

$$a_{nE} = (\omega^{veden})^2 l_{QO}. \quad (9)$$

де  $\omega^{veden}$  – кутова швидкість веденого валу машини.

У роботі [13] встановлено, що миттєве значення кутової швидкості веденого валу, що відповідає куту повороту ведучого валу в  $54^\circ$  ( $126^\circ$ ) рівне значенню постійної кутової швидкості ведучого валу, тому:

$$\omega_{54^\circ(126^\circ)}^{veden} = \omega^{veduch}. \quad (10)$$

З рахуванням рівності (10) вираз (9) матиме вигляд:

$$a_{nE} = (\omega^{veduch})^2 l_{QO}. \quad (11)$$

Рівняння (8) з урахуванням виразу (11) матиме вигляд:

$$\bar{F}_{in}^E = m_E (\omega^{veduch})^2 l_{QO}. \quad (12)$$

Визначимо плече сили інерції точки  $E$ . Умовно було прийнято, що точка  $E$  буде рухатися рівномірно (без тангенціальної складової прискорення). Отже, довжина плеча сили інерції прикладеної в точці  $E$  буде фактично рівною відстані  $l_{UQ'}$  (рис. 2 (б)). З роботи [15] відомо, що значення  $\cos\psi$  при такому положенні рухомих ланок машини майже рівне одиниці, в свою чергу:

$$l_{F_{in}} = l_{UQ'} = l_{O'K}. \quad (13)$$

Враховуючи те, що траєкторії обертання точок  $E$  та  $F$  дотикаються у точці (рис. 2 (б)), котра співпадає з серединою відстані між осями ведучого та веденого валів машини  $l_{QO}$ , то для визначення відстані  $l_{O'K}$  справедливим буде вираз:

$$l_{O'K} = l_{QK} - l_{QO} = \frac{3}{4}l_{QO} - \frac{2}{3}l_{QO} = \frac{1}{12}l_{QO}. \quad (14)$$

Рівняння (13) з урахуванням виразу (14) буде мати вигляд:

$$l_{F_{in}} = \frac{1}{12}l_{QO}. \quad (15)$$

Підставимо вирази (12) та (15) у рівняння (6):

$$\bar{M}_{F_{in}}^E = 0,08m_E (\omega^{veduch})^2 l_{QO}^2. \quad (16)$$

Далі, підставимо вирази (3) та (16) у рівняння (2):

$$\bar{M}_{OP.F_{in}} = (\omega^{veduch})^2 \cdot l_{QO}^2 (0,42m_\Sigma + 0,08m_E). \quad (17)$$

У результаті отримано загальне рівняння для визначення максимального динамічного моменту опору на ведучому валу машини з урахуванням маси ланок, які виконують просторовий рух та маси сипкого масиву, завантаженого до робочої емкості.

З роботи [14] відомо, що максимальний момент опору на ведучому валу машини визначається як векторна сума максимальних моментів усіх сил, що діють на завантажений сипкий масив до робочої емкості та на рухомі ланки машини, які виконують просторовий рух відносно відповідного центру рівноваги машини при встановленому їх положенні:

$$\bar{M}_{OP}^{MAX} = \sum \bar{M}_{F_i}^{O'(Q')}. \quad (18)$$

або

$$\bar{M}_{OP}^{MAX} = \bar{M}_{OP} + \bar{M}_{OP.Gm} + \bar{M}_{OP.F_{in}}. \quad (19)$$

Підставимо у рівняння (19) вираз для розрахунку статичної складової моменту опору створеного масою рухомих ланок, який отриманий у роботі [13], вираз для розрахунку статичної складової моменту опору створеного масою сипкого масиву завантаженого до робочої емкості, який отриманий у роботі [14], а також рівняння (17) та отримаємо вираз для визначення модуля максимального моменту опору на ведучому валу машини зі складним просторовим рухом робочої емкості:

$$\bar{M}_{OP}^{MAX} = 0,33m_F g l_{QO} + \sigma_{X\%} m_C g l_{QO} + (\omega^{veduch})^2 l_{QO}^2 (0,42m_\Sigma + 0,08m_E). \quad (20)$$

Після арифметичних перетворень рівняння (20) матиме вигляд:

$$\bar{M}_{OP}^{MAX} = l_{QO} (0,33m_F g + \sigma_{X\%} m_C g + (\omega^{veduch})^2 l_{QO} (0,42m_\Sigma + 0,08m_E)) \quad (21)$$

Також відомо [12], що максимальну потужність, що споживається машиною на її ведучому валу

$P_{MAX}$ , можна визначати на основі максимального моменту опору:

$$P_{MAX} = M_{OP}^{MAX} \omega^{\text{ведуч}}, \quad (22)$$

де  $M_{OP}^{MAX}$  – максимальний момент опору, який виникає на ведучому валу машини;  $\omega^{\text{ведуч}}$  – кутова швидкість ведучого валу машини.

Запишемо вираз для визначення максимальної потужності, що споживається на ведучому валу машини зі складним рухом робочої ємкості, підставивши рівняння (21) у (22):

$$P_{MAX} = l_{QO} \left( 0,33m_F g + \sigma_{X\%} m_C g + (\omega^{\text{ведуч}})^2 l_{QO} (0,42m_{\Sigma} + 0,08m_E) \right) \omega^{\text{ведуч}}, \quad (23)$$

де  $l_{QO}$  – відстань між осями ведучого та веденого валів, [м];  $m_F$  ( $m_E$ ) – половина сумарної маси ланок машини, які виконують просторовий рух, [кг];  $g$  – прискорення вільного падіння, [ $\text{м}/\text{s}^2$ ];  $\sigma_{X\%}$  – коефіцієнт, що характеризує габаритні параметри машини;  $m_C$  – маса сипкого масиву завантаженого до робочої ємкості, [кг];  $\omega^{\text{ведуч}}$  – кутова швидкість ведучого валу машини, [ $\text{рад}/\text{s}$ ];  $m_{\Sigma}$  – маса сипкого масиву завантаженого до робочої ємкості та половина сумарної маси ланок машини, які виконують просторовий рух, [кг];

На основі визначеній за рівнянням (23) максимальної потужності, що споживається на ведучому валу машини, виникає можливість підібрати електродвигун з необхідним стандартним значенням потужності та спроектувати відповідний привод, після чого можна сформулювати технічну характеристику машини із зазначеною кутовою швидкістю обертання ведучого валу та максимально дозволеною масою сипкого масиву, яка завантажується до робочої ємкості.

### Висновки

1. Виконані аналітичні дослідження потужності, яка споживається на ведучому валу галтувальної машини зі складним просторовим рухом робочої ємкості.

2. Отримано рівняння для визначення максимального значення динамічного моменту опору, створеного просторовим переміщенням рухомих ланок машини, а також встановлено, що повний максимальний момент опору на ведучому валу машини визначається як векторна сума максимальних моментів усіх сил, що діють на завантажений сипкий масив до ємкості та на рухомі ланки машини, які виконують просторовий рух відносно відповідного центру рівноваги машини.

3. Отримано загальний вираз для визначення максимальної потужності, що споживається машиною зі складним просторовим рухом робочої ємкості на її ведучому валу.

### Література

1. Виробництво літих деталей та виробів з полімерних матеріалів у взуттєвій та шкіргалантерейній промисловості : монографія / [О.П. Бурмістенков, Б.М. Злотенко, В.П. Коновал, І.В. Панаюк, М.Є. Скиба, О.М. Синюк]. – Хмельницький, 2007. – 255 с.
2. Копин В.А. Обработка изделий из пластмасс / Копин В.А., Макаров В.Л., Ростовцев А.М. – М. : Химия, 1988. – 176 с.
3. Zalyubovskyi M.G. Experimental investigation of the handling process of polymeric units in a machine with a compacted space movement of working capacity / Zalyubovskyi M.G., Panasyuk I.V., Smirnov Y.I., Klaptsiov Y.V., Malyshev V.V. // Bulletin of the Kyiv National University of Technologies and Design – 2019. – Vol. 2 (132). – P. 24 – 32.
4. Залюбовський М.Г. Експериментальне дослідження впливу геометрії металевих відливок деталей замка «бліскавка» на особливості їх обробки в галтувальній машині / М.Г. Залюбовський, І.В. Панаюк // Вісник Київського національного університету технологій та дизайну – 2020. – № 2 (144). – С. 24–32.
5. Marigo M. Developing Mechanistic Understanding of Granular Behaviour in Complex Moving Geometry using the Discrete Element Method. Part A: Measurement and Reconstruction of Turbulamixer Motion using Positron Emission Particle Tracking / Marigo M., Cairns D. L., Davies M., Cook M., Ingram A., Stitt E. H. // CMES: Computer Modeling in Engineering & Sciences – 2010. – No. 3 (Vol. 59), 217–238.
6. Залюбовський М.Г. Машини зі складним рухом робочих ємкостей для обробки полімерних деталей : монографія / М.Г. Залюбовський, І.В. Панаюк, В.В. Малишев. – К. : Університет «Україна», 2018. – 228 с.
7. Першин В.Ф. Машины барабанного типа: основы теории, расчета и конструирования / В.Ф. Першин. – Воронеж : Изд-во ВГУ, 1990. – 168 с.
8. Шумакова Т.А. Инструмент для виброабразивной обработки деталей: монография / Т.А. Шумакова, В.И. Шаповалов, Ю.И. Гутько ; Восточноукр. нац. ун-т им. В. Даля. – Луганск : Ноулидж, 2011. – 59 с.
9. Zalyubovskii M. G. On the study of the basic design parameters of a seven-link Spatial mechanism of a part processing machine / M. G. Zalyubovskii, I. V. Panasyuk // International Applied Mechanics, 56, issue 1, April 2020, 54–64.
10. Zalyubovskii M. G. Studying the main design parameters of linkage mechanisms of part-processing machines with two working barrels / M. G. Zalyubovskii, I. V. Panasyuk // International Applied Mechanics, 56, issue 6, November 2020, 762–772.
11. Модестов В.Б. Определение мощности смесителя, необходимой при смешивании сыпучих

- материалов. / В.Б. Модестов // Химическое и нефтегазовое машиностроение. – 2003. – № 3. – С. 7–8.
12. Модестов В.Б. Смесители сипучих и пастообразных материалов : монография / В. Б. Модестов ; МОНМС України, Восточноукр. нац. ун-т им. В. Даля, Технол. ин-т. – Луганск, 2011. – 353 с.
  13. Залюбовський М.Г. Дослідження статичного моменту опору ведучого валу галтувальної машини зі складним просторовим рухом робочої ємкості / М.Г. Залюбовський // Вісник Хмельницького національного університету. Технічні науки. – 2021. – № 1 (293). – С. 86–92.
  14. Залюбовський М.Г. Визначення статичного моменту опору ведучого валу галтувальної машини, створеного масою сипкого середовища у робочій ємкості / М.Г. Залюбовський, І.В. Панасюк // Вісник Хмельницького національного університету. Технічні науки – 2021. – № 2 (295). – С. 116–122.
  15. Залюбовський М.Г. Дослідження динамічного моменту опору ведучого валу галтувальної машини, утвореного переміщенням сипкого масиву у робочій ємкості / М.Г. Залюбовський, І.В. Панасюк, В.В. Малишев // Вісник Хмельницького національного університету. Технічні науки. – 2021. – № 3 (297). – С. 94–99.
  16. Zaliubovskyi M. G. Synthesis and research of the tumbling machine spatial mechanism / M. G. Zaliubovskyi, I. V. Panasiuk, Yu. I. Smirnov, V. V. Malyshev // Naukovyi Visnyk Natsionalnoho Hirnychoho Universytetu. – 2020. – 178, issue 4. – P. 69–75.

#### References

1. Vyrobnytstvo lytykh detalei ta vyrobiv z polimernykh materialiv u vzuttevii ta shkirhalanteriini promyslovosti : monohrafiia / [O.P. Burmistenkov, B.M. Zlotenko, V.P. Konoval, I.V. Panasiuk, M.Ie. Skyba, O.M. Snyuk]. – Khmelnytskyi, 2007. – 255 c.
2. Kopin V.A. Obrabotka izdelij iz plastmass / Kopin V.A., Makarov V.L., Rostovcev A.M. – M. : Himiya, 1988. – 176 s.
3. Zalyubovskyi M.G. Experimental investigation of the handling process of polymeric units in a machine with a compacted space movement of working capacity / Zalyubovskyi M.G., Panasyuk I.V., Smirnov Y.I., Klaptsov Y.V., Malyshev V.V. // Bulletin of the Kyiv National University of Technologies and Design – 2019. – Vol. 2 (132). – P. 24 – 32.
4. Zaliubovskyi M.H. Eksperimentalne doslidzhennia vplyvu heometrii metalevykh vidlyvok detalei zamka «blyskavka» na osoblyvosti yikh obraboky v haltuvannii mashyni / M.H. Zaliubovskyi, I.V. Panasiuk // Visnyk Kyivskoho natsionalnoho universytetu tekhnolohii ta dyzainu – 2020. – № 2 (144). – S. 24–32.
5. Marigo M. Developing Mechanistic Understanding of Granular Behaviour in Complex Moving Geometry using the Discrete Element Method. Part A: Measurement and Reconstruction of TurbuLA Mixer Motion using Positron Emission Particle Tracking / Marigo M., Cairns D. L., Davies M., Cook M., Ingram A., Stitt E. H. // CMES: Computer Modeling in Engineering & Sciences – 2010. – No. 3 (Vol. 59), 217–238.
6. Zaliubovskyi M.H. Mashyny zi skladnym rukhom robochych yemkostei dla obrabky polimernykh detalei : monohrafiia / M.H. Zaliubovskyi, I.V. Panasiuk, V.V. Malyshev. – K. : Universitet «Ukraina», 2018. – 228 s.
7. Pershin V.F. Mashiny barabannogo tipa: osnovy teorii, rascheta i konstruirovaniya / V.F. Pershin. – Voronezh : Izd-vo VGU, 1990. – 168 s.
8. Shumakova T.A. Instrument dlya vibroabrazivnoj obrabotki detalej: monografiya / T.A. Shumakova, V.I. Shapovalov, Yu.I. Gutko ; Vostochnoukr. nac. un-t im. V. Dalya. – Lugansk : Noulidzh, 2011. – 59 c.
9. Zalyubovskii M. G. On the study of the basic design parameters of a seven-link Spatial mechanism of a part processing machine / M. G. Zalyubovskii, I. V. Panasyuk // International Applied Mechanics, 56, issue 1, April 2020, 54–64.
10. Zalyubovskii M. G. Studying the main design parameters of linkage mechanisms of part-processing machines with two working barrels / M. G. Zalyubovskii, I. V. Panasyuk // International Applied Mechanics, 56, issue 6, November 2020, 762–772.
11. Modestov V.B. Opredelenie moshnosti smesitelya, neobhodimoj pri smeshivanii sypuchih materialov. / V.B. Modestov // Himicheskoe i neftegazovoe mashinostroenie. – 2003. – № 3. – S. 7–8.
12. Modestov V.B. Smesiteli sypuchih i pastoobraznyh materialov : monografiya / V. B. Modestov ; MONMS Ukrayni, Vostochnoukr. nac. un-t im. V. Dalya, Tehnol. in-t. – Lugansk, 2011. – 353 c.
13. Zaliubovskyi M.H. Doslidzhennia statychnoho momentu oporu veduchoho valu haltuvalnoi mashyny zi skladnym prostorovym rukhom robochoi yemkosti / M.H. Zaliubovskyi // Visnyk Khmelnytskoho natsionalnoho universytetu. Tekhnichni nauky. – 2021. – № 1 (293). – S. 86–92.
14. Zaliubovskyi M.H. Vyznachennia statychnoho momentu oporu veduchoho valu haltuvalnoi mashyny, stvorenoho masoiu sypkoho seredovishcha u robochii yemkosti / M.H. Zaliubovskyi, I.V. Panasiuk // Visnyk Khmelnytskoho natsionalnoho universytetu. Tekhnichni nauky – 2021. – № 2 (295). – S. 116–122.
15. Zaliubovskyi M.H. Doslidzhennia dynamichnoho momentu oporu veduchoho valu haltuvalnoi mashyny, utvorenoho peremishchenniam sypkoho masyvu u robochii yemkosti / M.H. Zaliubovskyi, I.V. Panasiuk, V.V. Malyshev // Visnyk Khmelnytskoho natsionalnoho universytetu. Tekhnichni nauky. – 2021. – № 3 (297). – S. 94–99.
16. Zaliubovskyi M. G. Synthesis and research of the tumbling machine spatial mechanism / M. G. Zaliubovskyi, I. V. Panasiuk, Yu. I. Smirnov, V. V. Malyshev // Naukovyi Visnyk Natsionalnoho Hirnychoho Universytetu. – 2020. – 178, issue 4. – R. 69–75.

Надійшла/Paper received :22.07.2021 p. Надрукована/Printed : 26.08.2021 p.